

УДК 532. 527.013.2 + 532.525.2

© 2005 г. В. Н. БЛАЖКО, С. Г. ЧЕФРАНОВ

## **ОБ АВТОКОЛЕБАНИЯХ, ВОЗНИКАЮЩИХ ПРИ ИСТЕЧЕНИИ ЗАКРУЧЕННОЙ СТРУИ**

Показано, что для описания ядра спирального закрученного вихревого потока может быть использовано новое точное нестационарное решение уравнений гидродинамики вязкой несжимаемой жидкости, представляющее собой обобщение твердотельных асимптотик вихрей Бюргерса и Салливана в виде твердотельного вращения при конечной величине спиральности. Получена оценка частоты пульсаций давления, отвечающая этому вихревому нестационарному режиму, которая пропорциональна частоте твердотельного вращения ядра закрученной струи и также зависит от параметров, определяющих начальную структуру поля скорости течения. Отмечается возможность соответствия этой частоты и наблюданной частоты в спектре пульсаций давления, которая почти пропорциональна расходу закрученного потока жидкости в вихревых акустических излучателях.

*Ключевые слова:* закрученная струя, спиральность, твердотельное вращение, периодические пульсации давления, точное решение уравнений гидродинамики.

В природе имеется немало примеров реализации закрученных вихревых потоков, наблюдаемых как для интенсивных атмосферных торнадоподобных вихрей [1–3], так и в магистральных отводах сердечно-сосудистой системы [4–6]. В [1], в частности, показано, что именно для закрученных однородно винтовых вихревых режимов течения жидкости может быть установлено обобщение теоремы Гельмгольца–Рэлея о минимуме диссипации кинетической энергии, что отвечает оптимальному энергетически выгодному способу реализации соответствующих потоков жидкости в природных и искусственных транспортных системах.

При истечении закрученных струй могут наблюдаться интенсивные периодические пульсации давления и скорости потока [7–10], которые имеют важное значение для гидро- и газодинамических технических систем [11, 12], а также для перспектив развития дистанционных методов функциональной диагностики сердечно-сосудистой системы.

Существует два подхода к объяснению механизма этого явления. Во-первых, это гипотеза, основанная на представлении о прецессии вихревого ядра возникающей при истечении закрученной струи из вихревой камеры [8, 10]. Во-вторых, гипотеза о механизме пульсаций давления [13], обусловленном периодической перестройкой потока между двумя режимами течения [14]. В обоих случаях отсутствует адекватное теоретическое описание указанного нестационарного явления в сложном трехмерном вихревом закрученном потоке [10].

В настоящей работе показано, что для возникновения периодических пульсаций давления и скорости в закрученном потоке достаточно существования вихревого ядра потока, совершающего только твердотельное вращение даже в отсутствии прецессии соответствующей оси вращения. Получено новое точное нестационарное, периодическое во времени, решение уравнений гидродинамики вязкой несжимаемой жидкости, которое может описывать указанное выше наблюдаемое явление. Это решение имеет конечную спиральность и отвечает нестационарному обобщению известных вихрей Бюргерса и Салливана при рассмотрении их твердотельных асимптотик (для кото-

рых указанные вихри не могут обладать конечной спиральностью) в случае, когда имеется вращение системы как целого, отвечающего вращению ядра закрученного потока.

**1. Точные решения.** Рассмотрим для случая неограниченного осесимметричного потока уравнение неразрывности и уравнения Навье–Стокса во вращающейся с угловой скоростью  $\Omega(t)$  цилиндрической системе координат, связанной с ядром неравномерно вращающейся как целое, закрученной затопленной струи

$$\begin{aligned} \frac{\partial u_z}{\partial t} + u_r \frac{\partial u_z}{\partial r} + u_z \frac{\partial u_z}{\partial z} &= - \frac{1}{\rho_0} \frac{\partial p}{\partial z} + v \Delta u_z \\ \frac{\partial u_r}{\partial t} + u_r \frac{\partial u_r}{\partial r} + u_z \frac{\partial u_r}{\partial z} - \frac{(u_\phi + \Omega r)^2}{r} &= - \frac{1}{\rho_0} \frac{\partial p}{\partial r} + v \left( \Delta u_r - \frac{u_r}{r^2} \right) \\ \frac{\partial u_\phi}{\partial t} + u_z \frac{\partial u_\phi}{\partial z} + u_r \frac{\partial u_\phi}{\partial r} + \frac{u_r u_\phi}{r} + \dot{\Omega} r + 2u_r \Omega &= v \left( \Delta u_\phi - \frac{u_\phi}{r^2} \right) \\ \frac{1}{r} \frac{\partial r u_r}{\partial r} + \frac{\partial u_z}{\partial z} &= 0, \quad \Delta = \frac{1}{r} \frac{\partial}{\partial r} r \frac{\partial}{\partial r} + \frac{\partial^2}{\partial z^2}; \quad \dot{\Omega} = \frac{d}{dt} \Omega(t) \end{aligned} \quad (1.1)$$

где  $v$  – коэффициент кинематической вязкости.

При рассмотрении нестационарных возмущений течения вблизи оси твердотельно вращающегося, с частотой  $\Omega$ , ядра закрученной струи жидкости можно искать точное нестационарное решение уравнений (1) (отвечающее этим возмущениям) в виде

$$u_r = -c_0(t)r, \quad u_z = 2c_0(t)z, \quad u_\phi = \omega(t)r, \quad p = p_0 + (\omega_1 z^2 + \omega_0 r^2) \rho_0 / 2 \quad (1.2)$$

где в отличии от заданной величины  $\Omega$ , параметры  $\omega(t)$  и  $c_0(t)$  могут быть равны нулю в начальный момент времени  $t = 0$ .

При этом в (1.2) предполагается, что область изменения переменных  $r$  и  $z$  мала по сравнению с характерными масштабами струи, стационарный предел для которой может отвечать известным вихревым структурам (см. Приложение). Подстановка (1.2) в (1.1) приводит к следующей системе из трех уравнений для четырех неизвестных функций  $c_0(t)$ ,  $\omega(t)$ ,  $\omega_0(t)$  и  $\omega_1(t)$

$$\begin{aligned} \frac{d}{dt}(\omega + \Omega) &= 2c_0(\omega + \Omega) \\ \frac{d}{dt}c_0 &= \omega_0 + c_0^2 - (\omega + \Omega)^2 \\ 2 \frac{dc_0}{dt} &= -\omega_1 - 4c_0^2 \end{aligned} \quad (1.3)$$

Давлению как функции времени должна отвечать только одна независимая функция времени, определяемая согласно уравнению неразрывности из вида лапласиана давления  $\Delta p = 2\omega_0(t) + \omega_1(t)$ . Таким образом, функции  $\omega_0$  и  $\omega_1$  не являются независимыми и можно принять, что  $\omega_0(t) = \varepsilon\omega_1(t)$ , где  $\varepsilon$  – постоянное число, характеризующее симметрию распределения поля давления в (1.2). При этом система (1.3) приводится к виду

$$\frac{dx}{dt} = 2c_0x, \quad x = \omega + \Omega$$

$$(2\epsilon + 1) \frac{dc_0}{dt} = -x^2 - c_0^2(4\epsilon - 1) \quad (1.4)$$

$$\omega_1 = -2 \frac{dc_0}{dt} - 4c_0^2$$

Функция  $x(t)$  в (1.4) описывает результирующую угловую скорость вращения жидких частиц уже относительно лабораторной системы координат (в отличие от тангенциальной скорости  $u_\phi$  в (1.2)).

Рассмотрим решение системы (1.4) в случае  $\epsilon = 1$ , отвечающему наиболее симметричному распределению давления в (1.2). При  $\epsilon = 1$  система (1.4) имеет инвариант

$$h = 3xc_0^2 + x^3/3 \quad (1.5)$$

Выразим из (1.5) функцию  $c_0(t)$  через  $x(t)$  и подставим в первое уравнение (1.4)

$$\frac{dx}{dt} = \frac{2}{\sqrt{3}} \left[ x \left( h - \frac{x^3}{3} \right) \right]^{1/2} \quad (1.6)$$

При  $x < 0$  в уравнении (1.6) надо лишь заменить  $x$  на  $|x|$  и  $h$  на  $|h|$ . Введем новую переменную  $y = x/(3h)^{1/3}$  и проинтегрируем уравнение (1.6) в виде

$$I = \int \frac{dy}{\sqrt{y(1-y^3)}} = \frac{2h^{1/3}t}{3^{2/3}} + c_1 \quad (1.7)$$

Интеграл I выражается через эллиптический интеграл 1-го рода  $F(\phi, k)$  в виде [15, стр. 130, ф. 1.2.74(1)]

$$I = \frac{F(\phi, k)}{3^{1/4}}, \quad 0 \leq y \leq 1, \quad \phi = \arccos \frac{1-y(1+\sqrt{3})}{1+y(\sqrt{3}-1)}, \quad k = \frac{\sqrt{2-\sqrt{3}}}{2} = \cos \frac{5\pi}{12} \quad (1.8)$$

$$u = F(\phi, k) = \int_0^\phi \frac{d\phi}{\sqrt{1-k^2 \sin^2 \phi}}, \quad \phi = am u \quad (1.9)$$

Принимая во внимание соотношения [15]  $\operatorname{cn} u = \cos(am u)$ , получаем из (1.7)

$$\operatorname{cn}(\tau + c_2) = \cos \phi = \frac{1 - y(\sqrt{3} + 1)}{1 + y(\sqrt{3} - 1)}, \quad c_2 = c_1 3^{1/4}, \quad \tau = \frac{2h^{1/3}t}{3^{5/12}} \quad (1.10)$$

Из (1.10) получаем для  $y$  выражение через эллиптическую функцию Якоби  $\operatorname{sn}$ :

$$y = \frac{1 - \operatorname{cn}(\tau + c_2)}{\sqrt{3} + 1 + (\sqrt{3} - 1)\operatorname{cn}(\tau + c_2)} \quad (1.11)$$

Представления (1.11) и (1.5) полностью описывают решение системы (1.4) для  $\omega$ ,  $c_0$  и  $\omega_1$  в следующем виде

$$\omega(t) = -\Omega(t) + (3h)^{1/3}y(t), \quad c_0(t) = \frac{h^{1/3}(1-y^3)^{1/2}}{3^{2/3}y^{1/2}}, \quad \omega_1(t) = \frac{2h^{2/3}(4y^3-1)}{3^{4/3}y} \quad (1.12)$$

где  $y$  определяется из (1.11). Величина  $k^2 = \cos^2 5\pi/12 \approx 0.066 \ll 1$ , в силу чего в (1.11)  $\operatorname{cn}(\tau + c_2) \approx \cos(\tau + c_2)$  [15]. Постоянная интегрирования  $c_2$  в (1.11) определяется из ви-

да  $h$  и начальных условий для  $\omega(t)$ , например, при  $\omega(0) = c_0(0) = 0$  имеем  $(3h)^{1/3} = \Omega$  и  $c_2 = \pi$ . При этом (1.11) запишется в виде

$$y = \frac{1 + \cos \tau}{\sqrt{3} + 1 - (\sqrt{3} - 1) \cos \tau}, \quad \tau = \frac{2\Omega t}{3^{3/4}} \quad (1.13)$$

Это решение в рассматриваемом пределе малых по сравнению с радиусом струи  $r$  качественно отличается от нестационарного решения уравнений гидродинамики, полученного в работе [16] исходя из сходного с (1.2) представления для  $u_r$  и  $u_z$ . Действительно, решение (4) при  $A = 0$ ,  $c_1 = 0$  точно отвечает представлению  $u_z$  и  $u_r$  в (1.2), если в (1.2) заменить  $c_0$  на  $-c_0$ . Если дополнитель но в (4) работы [16] рассмотреть предел  $\beta(t)r^2 \ll 1$  (положив  $\gamma_1 = -\gamma_0$ ), то и для  $u_\phi$  в [16] получается сходное с (1.2) представление  $u_\phi \approx \gamma_0 \beta r / 2\pi$ , если положить  $\omega(t) = \gamma_0 \beta(t) / 2\pi$ . Величина  $\gamma_0$  в (4) работы [16] имеет смысл циркуляции поля скорости, отвечающей компоненте завихренности вдоль оси  $z$ , а величина  $(\beta(t))^{-1/2}$  радиуса экспоненциальной локализации такой завихренности по  $r$  (см. в Приложении о соответствующих локализованных вихрях при  $t \rightarrow \infty$ ).

Различие между полученным выше решением и решением [16] связано с тем, что в [16] функция  $c_0(t)$  принималась произвольно задаваемой и по ней определялась функция  $\beta(t)$  или  $\omega(t)$  только из уравнения, совпадающего в пределе  $\beta(t)r^2 \ll 1$  с первым уравнением (1.3) (при  $\Omega = 0$ ), т.е. без учета второго и третьего уравнений (1.3). Это соответствует случаю недоопределенности системы из трех уравнений (1.3) с четырьмя неизвестными, когда формально можно выразить  $\omega$ ,  $\omega_0$  и  $\omega_1$  через  $c_0$ .

Важной отличительной особенностью полученного решения (1.12) является его периодичность во времени, связанная с периодичностью эллиптической функции Якоби  $\text{cn}(\tau + c_2)$ , имеющей период  $4K(k)$ , где

$$F\left(\frac{\pi}{2}, k\right) = K(k) = \int_0^{\pi/2} \frac{d\phi}{\sqrt{1 - k^2 \sin^2 \phi}}$$

Для приведенного значения  $k$   $K(k) \approx 1.597$ , а величина периода  $T$  при этом определяется из условия

$$\begin{aligned} \text{cn}(2h^{1/3}(t+T)/3^{5/12} + c_2) &= \text{cn}(2h^{1/3}t/3^{5/12} + c_2 + 4K(k)) \\ T &= 2K(k)3^{5/12}/h^{1/3} \end{aligned} \quad (1.14)$$

В частности, если в начальный момент времени принять, что  $\omega(0) = c_0(0) = 0$ , то согласно (1.5) и (1.14) получаем  $T = 2K(k)3^{3/4}/\Omega \approx 7.28/\Omega$ . При этом очевидно, что для  $\Omega \rightarrow 0$  решение с такими начальными данными уже не будет обладать конечным периодом.

Таким образом, при отмеченных начальных условиях частота ритмических пульсаций давления и скорости закрученного потока оказывается пропорциональной величине частоты  $\Omega$  твердотельного вращения вихревого ядра струи. Этот вывод отчасти согласуется и с представлением о механизме вихревой пульсации давления, развивающейся в [8]. При этом имеется и качественное соответствие с данными экспериментов [8–10], свидетельствующими о наличии пропорциональности между величиной расхода жидкости и величиной доминирующей частоты.

**2. Сопоставление с экспериментом.** В работе [10] экспериментально исследовались периодические пульсации давления, возникающие при истечении затопленной закрученной струи в открытое пространство. Обнаружено, что доминирующая частота  $f$  в спектре пульсаций давления изменяется почти пропорционально расходу в виде  $f_{\text{exp}} = b(V - v_0)$ , где  $V$  – тангенциальная скорость втекания воздуха (через щелевые каналы) в вихревую камеру радиуса  $R$  и длины  $L$ , а  $b$  и  $v_0$  – определяемые из эксперимента эм-

тические параметры, зависящие от величины радиуса  $r$  выходного сопла спрофилированного в виде суживающегося конфузора длиной  $\lambda = 10$  мм. Согласно фиг. 3 в [10]  $v_0 \approx 2.5$  м/с при  $r/R = 2/7$  и  $v_0 = 5$  м/с при  $r = 1/2, 5/7, 1$ . В эксперименте [10] величина  $V$  изменялась от 6.2 до 62 м/с при постоянной величине  $R \approx 14$  мм. Сравним  $f_{\exp}$  из [10] и  $f = 1/T$  для полученного выше представления (1.14) периода  $T$  пульсаций поля скорости и давления. Из (1.14) для угловой скорости  $2\pi f$  имеем

$$2\pi f = 0.863(\Omega + \omega(0)) \left[ 1 + \frac{9\gamma^2}{4s^2} \right]^{1/3}$$

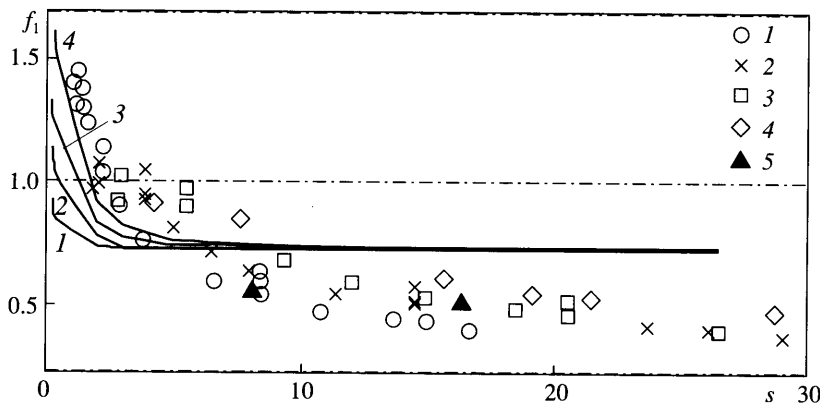
$$\Omega = \text{const}, \quad \gamma = \frac{r}{\lambda}, \quad s = \frac{(\omega(0) + \Omega)r}{2c_0(0)\lambda} \quad (2.1)$$

$$\frac{\pi}{K(k)3^{3/4}} \approx 0.863, \quad k^2 = 0.066$$

Представление для  $f$  в виде (2.1) уже позволяет дать интерпретацию эмпирическому параметру  $v_0$  из [10]. Действительно, в (2.1) при  $\omega(0) = -|\omega(0)|$  величина  $f \rightarrow 0$  для  $\Omega \rightarrow |\omega(0)|$  также, как  $f_{\exp}$  при  $V \rightarrow v_0$ . Величины  $\omega(0)$  в (2.1) вполне могут быть отрицательными, например, из-за наличия вязкого трения потока о стенки сопла, что допускает развитие диссипативно-центробежной неустойчивости [17], приводящей к возникновению именно антициклонической циркуляции (имеющей направление вращения противоположное направлению вращения  $\Omega$  ядра потока на выходе из сопла). При этом  $\Omega$  может быть связана с величиной  $V$  из [10] соотношением  $V = \Omega r^2/R$ , следующим из закона сохранения момента количества движения. Соответственно,  $v_0$  тоже можно представить в виде  $v_0 \approx |\omega(0)|r^2/R$ . Например, при  $r/R = 1/2$  согласно [10]  $v_0 \approx 5$  м/с величина  $|\omega(0)|/\Omega \approx 1/6$  для  $V \approx 30$  м/с. В [10] на фиг. 6, а приведена, определяемая экспериментально, зависимость величины  $Y = 2\pi b r^2/R$  от параметра закрутки  $s$ , представляющего в [10], как и в (2.1), отношение вращательной компоненты скорости на радиусе сопла к средней осевой скорости через сопло. Поскольку можно с учетом отмеченных выше представлений для  $V$  и  $v_0$  через  $\Omega$  и  $|\omega(0)|$  выразить  $f_{\exp}$  в виде  $f_{\exp} = br^2/R(\Omega - |\omega(0)|)$ , то и для  $Y$  получаем  $Y = 2\pi f_{\exp}/(\Omega - |\omega(0)|) \approx 2\pi f_{\exp}/\Omega$ . В [10] действительно, отмечается, что  $Y$  приближенно (с учетом того, что  $\Omega \gg |\omega(0)|$ , так как  $V \gg v_0$ ) есть отношение доминирующей частоты к частоте вращения  $\Omega$  жидкости на радиусе сопла. Для сопоставления (2.1) с  $Y$  на фиг. 6, а в [10] введен на основе (2.1) аналогичную  $Y$  величину  $f_1 = 2\pi f/\Omega$ , когда, например, при  $|\omega(0)|/\Omega \approx 1/6$  имеем

$$f_1 \approx 0.719 \left[ 1 + \frac{9\gamma^2}{4s^2} \right]^{1/3} \quad (2.2)$$

На фигуре приведено сопоставление зависимости  $f_1$ , от  $s$  при различных величинах  $\gamma$ , с полученной в [10] экспериментальной зависимостью  $Y$  от  $s$ . Имеется качественное и количественное соответствие между результатами экспериментов [8, 10] и теоретическими оценками, полученными в настоящей работе. При этом можно сделать вывод, что наблюдаемые в [10] автоколебания поля давления могут быть обусловлены не прецессией оси вращения вихревого ядра потока [8, 10], а периодически спиральными антициклоническими (с  $\omega < 0$  при  $\Omega > 0$ ) вихревыми возмущениями вида (1.2) при (1.12) на фоне твердотельного вращения ядра потока с угловой скоростью  $\Omega$ . Отметим, что только при  $\Omega \neq 0$ , в том числе для  $\Omega = \text{const}$ , согласно полученному точному решению (1.12) возможно развитие во времени таких конечныхperi-



Частота автоколебаний давления  $f_1$  из (2.2) в зависимости от параметра закрутки  $s$ : кривые 1–4 отвечают  $\gamma = r/\lambda = 0.4, 0.7, 1$  и  $1.4$  соответственно. Экспериментальные данные [10] соответствуют точкам 1–4 для  $r/R = 2/7, 1/2, 5/7, 1$ , точка 5 – эксперименту [8].

одических возмущений даже для нулевых начальных возмущений с  $\omega(0) = 0$  (так как при  $\omega(0)$  инвариант  $h = 0$  и для  $\Omega = 0$  при любых  $t$  величина  $\omega(t) = 0$ ).

**Заключение.** Получено новое точное нестационарное решение уравнений гидродинамики, отвечающее периодическим пульсациям поля скорости и поля давления с периодом  $T$ , который при нулевых начальных возмущениях поля скорости определяется только величиной угловой скорости  $\Omega$  твердотельного вращения ядра закрученной затопленной струи. Это вихревое решение является нестационарным обобщением для твердотельных асимптотик известных стационарных вихревых структур (вихрей Бюргерса и Салливана), не обладающих в этом пределе конечной спиральностью в отличие от полученного решения. Это решение существенно уточняет также приведенное в [16] нестационарное решение. Новое периодическое решение может описывать наблюдавшиеся [10] периодические пульсации давления с доминирующей частотой  $f_{\text{exp}}$ , пропорциональной величине расхода закрученной затопленной струи. Действительно, угловая скорость твердотельного вращения  $\Omega$  ядра закрученного потока, согласно [3], оказывается пропорциональной именно величине расхода жидкости. Сопоставление данных наблюдений о зависимости  $f_{\text{exp}}$  от степени закрученности потока  $s$  с зависимостью, следующей из полученного выражения для периода пульсации давления, иллюстрирует удовлетворительную степень соответствия развитой в настоящей работе теории с данными экспериментов [10].

Решения, полученные в [16], уже нашли применение при количественном анализе закрученной структуры потока крови в сердце и аорте [4–6]. В этой связи представляет интерес развитие сходного анализа с учетом полученных в настоящей работе новых нестационарных, периодических, спиральных вихревых решений уравнений гидродинамики вязкой несжимаемой жидкости, которые качественно уточняют решение работы [16] в пределе  $r \rightarrow 0$ .

Работа выполнена при поддержке Программы фундаментальных исследований президиума РАН "Фундаментальные науки – медицине".

**Приложение.** В классической гидродинамике известны [18, стр. 343–345] следующие стационарные вихревые режимы, отвечающие точным стационарным решениям уравнений гидродинамики в виде вихря Бюргерса (П.1) ([18, стр. 343]) и вихря Салливана (П.2)

$$u_z = 2c_s z; \quad u_r = -c_s r$$

$$u_\varphi = \frac{\chi}{4\pi r} (1 - \exp(-r^2/r_0^2)) \approx \begin{cases} \chi/2\pi r, & r \gg r_0 \\ \chi c_s r / 4\pi v, & r \ll r_0 \end{cases} \quad (\text{П.1})$$

$$\omega_z = \frac{1}{r} \frac{\partial}{\partial r} r u_\varphi = \frac{\chi}{2\pi r_0^2} \exp\left(-\frac{r^2}{r_0^2}\right)$$

$$\psi = c_s r^2 z, \quad u_z = \frac{1}{r} \frac{\partial \psi}{\partial r}, \quad u_r = -\frac{1}{r} \frac{\partial \psi}{\partial z}$$

$$u_z = 2zc_{1s}(1 - 3\exp(-r^2/r_1^2)) \approx \begin{cases} 2zc_{1s}, & r \gg r_1 \\ -4zc_{1s}, & r \ll r_1 \end{cases}$$

$$u_r = -r \left( c_{1s} - \frac{6v}{r^2} (1 - \exp(-r^2/r_1^2)) \right) \approx \begin{cases} -rc_{1s}, & r \gg r_1 \\ 2c_{1s}r, & r \ll r_1 \end{cases} \quad (\text{П.2})$$

$$u_\varphi = \frac{1}{r} \int dr r \omega_z \approx \begin{cases} c_p/r, & r \gg r_1 \\ c_p r/2, & r \ll r_1 \end{cases}$$

$$\omega_z \approx c_p \exp\left(\frac{1}{v} \int \frac{dr u_r}{r}\right)$$

$$\psi = zr^2 \left( \frac{c_{1s}}{2} - \frac{6v}{r^2(1 - \exp(-r^2/r_1^2))} \right), \quad r_0^2 = \frac{2v}{c_s}, \quad r_1^2 = \frac{2v}{c_{1s}}$$

где  $c_{1s} = \text{const}$ ,  $c_s = \text{const}$ ,  $c_p = \text{const}$ ,  $\omega_z$  – вертикальная компонента завихренности ( $\boldsymbol{\omega} = \text{rot } \mathbf{u}$ ). Для вихря Бюргерса из (П.1) только в пределе  $r \ll r_0$  получается асимптотика, отвечающая твердотельному вращению с частотой  $\chi c_s / 4\pi v$ . Эта частота может оставаться конечной в пределе  $c_s \rightarrow 0$  (так как только в этом пределе решение (П.1) для  $r \ll r_0$  является точным решением системы (1.1) (или (1.3) для  $\Omega = 0$ )) при  $\omega = \chi c_s / 4\pi v = \omega_0$  и  $\omega_1 = 0$ ) только при одновременном выполнении предела  $\chi/v \rightarrow \infty$ , например, для  $v \rightarrow 0$ , когда величина  $r_0$  остается конечной при  $c_s \rightarrow 0$  и  $v \rightarrow 0$ .

Для вихря Салливана можно провести аналогичное рассмотрение. При этом предел  $r \ll r_1$  отвечает твердотельному вращению вихревого ядра с частотой  $c_p/2$ .

## СПИСОК ЛИТЕРАТУРЫ

- Чефранов А.С., Чефранов С.Г. Экстремумы кинетической энергии и скорости ее диссипации в гидромеханике закрученных потоков // Докл. РАН. 2003. Т. 393. № 5. С. 624–628.
- Чефранов С.Г. О масштабно-инвариантном критерии подобия для закрученных потоков при лабораторном моделировании торнадо подобных вихрей // Изв. РАН. Физика атмосферы и океана 2003. Т. 39. № 6. С. 760–765.
- Чефранов С.Г. Генерация спиральности в однородно-винтовых вихревых потоках // ЖЭТФ. 2004. Т. 126. Вып. 5(11). С. 1133–1145.
- Кикнадзе Г.И., Олейников В.Г., Городков А.Ю., Гачечиладзе И.А., Доброда Н.Б., Бакей Ш., Бара Ж.-Л. О структуре потока в левом желудочке сердца и аорте на основании точных решений нестационарных уравнений гидродинамики и морфометрических исследований // Докл. РАН. 1996. Т. 351. № 1. С. 119–122.

5. Gorodkov A., Dobrova N.B., Dubernard J.-Ph., Kiknadze G.I., Barat J.L., Baquey Ch. Anatomical structures determining blood flow in the heart left ventricle // J. Material Sci.: Materials Med., 1996. V. 7. P. 153–160.
6. Городков А.Ю. Количественный анализ структурной организации пульсирующего потока крови в левом желудочке сердца и аорте // Дис. на соиск. учен. степени докт. биол. наук. М.: МГУ, 2004.
7. Vonnegut B.A. A vortex whistle // J. Acoust. Soc. Amer., 1954. V. 26. № 1. P. 18–20.
8. Chanand R.C. Experiments concerning the vortex whistle // J. Acoust. Soc. Amer. 1963. V. 35. № 3. P. 953–960.
9. Кныш Ю.А., Лукачев С.В. Экспериментальное исследование вихревого генератора звука // Акуст. ж., 1977. Т. 23. Вып. 5. С. 766–782.
10. Ахметов Д.Г., Никулин В.В., Петров В.М. Экспериментальное исследование автоколебаний, возникающих при истечении закрученной струи // Изв. РАН. МЖГ. 2004. № 3. С. 60–68.
11. Киясбейли А.Ш., Перельштейн М.Е. Вихревые счетчики-расходометры // М.: Машиностроение. 1974. 164 с.
12. Курзин В.Б. Низкочастотные собственные акустические колебания в проточной части гидротурбин // ПМТФ. 1993. № 2. С. 96–105.
13. Полянский А.С., Скурин Л.И. К определению частоты звука, генерируемого вихревой камерой // Акуст. ж., 1993. Т. 39. Вып. 6. С. 1117–1122.
14. Гольдштак М.А. Вариационная модель турбулентного вращающегося потока // Изв. АН СССР. МЖГ. 1985. № 3. С. 22–32.
15. Прудников А.П., Брычков Ю.А., Маричев О.И. Интегралы и ряды // М., Наука. 1981. 662 с.
16. Кикнадзе Г.И., Краснов Ю.К. Эволюция смерчеобразных течений вязкой жидкости // Докл. АН СССР. 1986. Т. 290. № 6. С. 1315–1319.
17. Чефранов С.Г. Диссипативно-центробежная неустойчивость и циклон-антициклонная асимметрия вихрей Росби // Письма в ЖЭТФ. 2001. Т. 73. С. 312–315.
18. Бэтчелор Дж. Введение в гидродинамику жидкости // М.: Мир. 1973. 758 с.

Москва,  
Институт физики атмосферы им. А.М. Обухова РАН.  
Пущино,  
Институт теоретической и экспериментальной биофизики РАН.  
e-mail: schefranov@mail.ru

Поступила в редакцию  
21.XII.2004